

ผลของความยาวโลหะยึดกระดูก และการยึดกระดูกโดยใช้รูปแบบการวางแผน  
ที่แตกต่างกันต่อความเครียดบริเวณกระดูกหักในภาวะกระดูกตันขาหัก  
**The effects of plate length and screw placement on fracture strain  
for femoral shaft fracture**

วีณา พันเพ็ง<sup>1\*</sup>, กันธ์ธร ชัยนิประสาสน์<sup>1</sup>

<sup>1</sup> สาขาวิชาศึกษากรรมเครื่องกล สำนักวิชาศึกษากรรมศาสตร์ มหาวิทยาลัยเทคโนโลยีสุรานารี อ.เมือง จ.นครราชสีมา 30000

\*อีเมล์ veenap\_jane@hotmail.com

Veena Phunpeng<sup>1\*</sup>, Kontorn Chamniprasart<sup>1</sup>

<sup>1</sup> School of Mechanical Engineering, Institute of Engineering, Suranaree University of Technology,

Nakhon Ratchasima 30000, Thailand, \* E-mail : veenap\_jane@hotmail.com

บทคัดย่อ:

การรักษาผู้ป่วยภาวะกระดูกตันขาหักสามารถทำได้หลายวิธี ที่นิยมใช้ในการแพทเทอร์บัคบัน คือ การใส่โลหะยึดกระดูก (internal fixation) ซึ่งแบ่งได้เป็น 2 ประเภท ได้แก่ การใส่แท่งโลหะ ในกระดูก (nail system) และการใช้แผ่นโลหะยึดกระดูก (plate system) สาเหตุสำคัญที่ส่งผลต่อการยึดติดกันของกระดูก คือ ความเครียดที่เกิดขึ้นบริเวณช่องว่างในรอยหักของกระดูก (interfragmentary strain: IFS) สำหรับการใช้แผ่นโลหะยึดกระดูก นั้นจะใช้แผ่นรับแรงอัดทางพลาสติก (dynamic compression plate: DCP) อย่างไรก็ตาม การใช้ DCP ไม่มีรูปแบบการยึดสรุกรูที่แน่นอนรวมทั้งขนาดหรือความยาวของแผ่นโลหะ จำนวนสกรูและรูปแบบการวางแผนสกรู ที่มีผลต่อการเคลื่อนที่บริเวณรอยหักของกระดูก ล้วนเป็นปัจจัยที่สำคัญต่อการยึดติดกันของกระดูกหักสิ้น ดังนั้น งานวิจัยนี้มีวัตถุประสงค์เพื่อศึกษาผลจากขนาดแผ่นโลหะ (DCP) จำนวนสกรู และรูปแบบการวางแผนสกรู ที่มีผลติดกับกระดูกหน้าหักให้ได้ค่า IFS ที่เหมาะสมที่สุดโดยใช้รัฐมนตรีวิธีไฟนิตอลิเมนต์ (finite element method: FEM) วิเคราะห์ความเครียดในแบบจำลองกระดูกตันขาเมื่อยึดด้วยแผ่นโลหะที่มีขนาด 14, 16 และ 18 รู ด้วยสกรู 6 และ 8 ตัว ตามลำดับ รับน้ำหนักของร่างกายขนาด 50, 60 และ 70 กิโลกรัม ผลการวิจัยนี้คาดว่าจะสามารถนำไปใช้เป็นแนวทางในการรักษาผู้ป่วยภาวะกระดูกตันขาหัก รวมถึงการเลือกขนาดแผ่นโลหะ จำนวนสกรู และรูปแบบการยึดสรุกรูที่เหมาะสม เพื่อเป็นประโยชน์ในการแพทเทอร์บัคบัน

**Abstract:**

Medical treatment of patients suffering from femoral shaft fracture can be done by several methods. At present, the most popular method is based on internal fixation, which is divided into two approaches: i) nail system and ii) plate system. One of the most important factors that influence bone healing is interfragmentary strain (IFS). For the plate system, dynamic compression plate, or so-called DCP, is used. Nevertheless, there is no certain pattern of screw placement. In addition, plate length, number of screws and pattern of screw placement are important factors in bone healing. Therefore, this research is to study effects of the plate length, the screw numbers and the screw placement pattern on the IFS during the healing of femoral shaft fracture. Strain analysis conducted by the well-known finite element method (FEM) is employed. FEM models of femur consisting of 14, 16 and 18 holes of DCP with 6 or 8 screws and loaded with 50, 60 and 70 kg of body weight are simulated. When optimal plate length, certain pattern of screw placement and optimal number of screws are made, thus orthopedic surgeons can gain greatly benefits from this research leading to better medical healing of patients suffering from the femoral shaft fracture.

## 1. บทนำ

ทางเลือกหนึ่งของการรักษาภาวะกระดูกตันขาหัก (femoral shaft fracture) คือ การผ่าตัดใส่โลหะยึดกระดูก (plating) โดยเฉพาะอย่างยิ่ง ในปัจจุบันได้มีการผ่าตัดใส่โลหะยึดกระดูก โดยไม่ต้องเปิดแผลบริเวณ กระดูกหัก (Minimally invasive plate osteosynthesis – MIPO) ซึ่ง การที่จะประสบความสำเร็จในการผ่าตัดชนิดนี้ขึ้นกับปัจจัย หลายด้านๆ

ปัจจัยทางกลศาสตร์ (Mechanical factors) อันหนึ่งที่ส่งผลต่อ การติดของกระดูก คือ การเคลื่อนที่ของกระดูกที่หัก (interfragmentary movement) หากมีการเคลื่อนที่ของกระดูกมากเกินไปก็จะมีผลทำให้ กระดูกไม่ติดกัน (fibrous non union) และหากไม่มีการเคลื่อนที่ของ กระดูกหักเลย (rigidly fixed) ก็จะทำให้กระดูกติดช้ำลง

ดังนั้น การเคลื่อนที่ของกระดูกที่เหมาะสมจะมีความสำคัญต่อการ รักษาผู้ป่วยภาวะกระดูกตันขาหัก ในปี 1979 Perren ได้ให้ทฤษฎีของ Interfragmentary strain [5] ดังสมการที่ 1

$$IFS = \frac{IFM}{L} \times 100\% \quad (1)$$

เมื่อ IFS คือ ความเครียดบริเวณรอยหักของกระดูก  
 (interfragmentary strain)

IFM คือ การเคลื่อนที่บริเวณรอยหักของกระดูก  
 (interfragmentary movement)

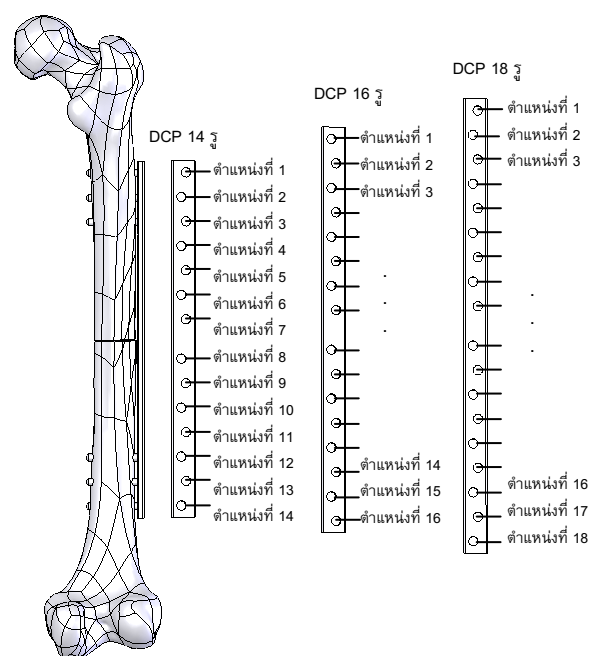
L คือ ช่องว่างรอยหักกระดูก (gap)

ในปี 1998 Claes และคณะ กล่าวว่า IFS ที่น้อยกว่า 5% จะทำให้ เกิดเนื้อเยื่ออเกิร์วยพันธ์หรือกระดูกอ่อนซึ่งมีความแข็งแรงต่ำ ก้อนที่จะ เป็นเยื่อกระดูก IFS น้อยกว่า 15% จะกระตุ้นให้เกิดเซลล์กระดูก และ IFS มากกว่า 15% จะทำให้กระดูกไม่ติดกัน [2] แต่ในปี 2004 Kenneth กล่าวว่า IFS ควรอยู่ในช่วง 2%-10% [3] จึงจะทำให้เกิดการ สร้างเซลล์กระดูกใหม่ได้ดี รวมถึงการศึกษาอื่นๆ ที่แสดงให้เห็นว่าการ เคลื่อนที่ของกระดูกหักในขนาดที่เหมาะสม จะทำให้กระดูกติดเร็วขึ้นได้ [1, 4] จึงทำการสรุปค่า IFS ในช่วง 5%-10% เป็นค่าที่เหมาะสมต่อ การรักษาผู้ป่วยภาวะกระดูกตันขาหัก โดยวัตถุประสงค์ของงานวิจัย เพื่อทำการศึกษาหาความเหมาะสมของขนาดความยาวแผ่นโลหะ และ รูปแบบการวางสกรูที่ทำให้ได้ ค่า IFS ในช่วง 5%-10% ในภาวะกระดูก ตันขาหัก โดยการวิเคราะห์ด้วยระเบียนวิธีไฟน์เดลlement (finite element method, FEM) ทำการวิเคราะห์ความเครียดในแบบจำลอง ของกระดูกที่เกิดช่องว่างรอยหัก 6 มิลลิเมตร ยึดกระดูกด้วยแผ่นโลหะ ที่มีขนาด 14 รู 16 รู และ 18 รู ด้วยจำนวนสกรู 6 และ 8 ตัว รับน้ำหนักของร่างกายขนาด 50-60 และ 70 กิโลกรัม ใช้โปรแกรม COSMOS 2005 ในการวิเคราะห์ ซึ่งผลของการวิจัยนี้สามารถนำไปใช้ เป็นแนวทางในการรักษาผู้ป่วยภาวะกระดูกตันขาหัก รวมถึงการเลือก ขนาดแผ่นโลหะ จำนวนสกรู และรูปแบบ การยึดสกรูที่เหมาะสม

## 2. แบบจำลองกระดูกตันขา

แบบจำลองของกระดูกตันขาเป็นแบบจำลองของกระดูกจริงที่ได้จาก การสแกนด้วยเครื่องสแกนสามมิติ ซึ่งมีรูปร่างเช่นเดียวกับกระดูกจริง

มีความยาว 43เซนติเมตร โดยเป็นกระดูกตันขาด้านข้างในการจำลอง การหักของกระดูกนั้นจะให้กระดูกเกิดการหัก ณ บริเวณคอคอดของ กระดูกตันขาสูงจากตำแหน่งข้อต่อหัวเข่า 20.5 cm และในการรักษานั้น เราจะเห็นช่วงว่างที่รอยหักของกระดูกด้วยระยะห่าง 6 มิลลิเมตร และใช้ DCPขนาด 14 รู 16 รู และ 18 รู เพื่อศูนย์การขับดัวที่เกิดขึ้น เมื่อสกรูยึดด้วยสกรูที่มีตำแหน่งการยึด ที่แตกต่างกัน ดังรูปที่ 1

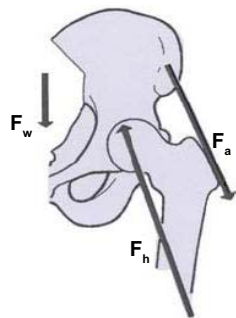


รูปที่ 1 ตำแหน่งรูบนแผ่น DCP ขนาด 14 16 และ 18 รู

สำหรับค่าคงสมบัติของกระดูกนั้นกำหนดให้กระดูกมีคุณสมบัติเป็น สารเนื้อเดียวแบบไอโซโทรปิก (Isotropic) โดยมีค่ามอดูลัสของยัง (Young's modulus) เท่ากับ 15 GPa และอัตราส่วนปัวซอง (Poisson ratio) เท่ากับ 0.33 [8] สำหรับแผ่นโลหะยึดกระดูก (DCP) และสกรูนั้น ทำมาจาก สแตนเลส 316L (316L Stainless steel) ซึ่งมีค่า มอดูลัสของยังเท่ากับ 193 GPa และค่าอัตราส่วนปัวซองเท่ากับ 0.3

## 3. วิธีวิจัย

สำหรับแรงที่กระทำกับกระดูกตันขา ซึ่งเกิดจากน้ำหนักของร่าง กาย (W) ส่งผ่านมาอย่างตะโพกและแบ่งไปยังกระดูกตันขา เพราะะนั้น กระดูกตันขาหนึ่งจะรับน้ำหนักเพียงครึ่ง หนึ่งเท่า ๆ กัน (เท่ากับ  $F_w$ ) ข้อต่อระหว่างหัวกระดูกตันขา กับตะโพก จะมีแรงปฏิกิริยา ( $F_h$ ) และมีแรงเนื่องจากกล้ามเนื้อที่ทำให้เกิดการ เคลื่อนไหวในลักษณะ การข้อออกจำกัด (F<sub>a</sub>) [6, 7, 9] ดังแสดงในรูปที่ 2

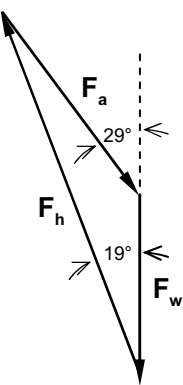


รูปที่ 2 แรงที่กระทำกับกระดูกตันขา

ในการจำลองนั้นได้กำหนดเงื่อนไข (Boundary conditions)  
ไว้ดังนี้ (รูปที่ 5)

1. กำหนดให้แรงกระทำที่หัวกระดูกเป็น  $F_{ax}$ ,  $F_{ay}$ ,  $F_{hx}$  และ  $F_{hy}$
2. กำหนดค่าเงื่อนไข (constraint) ที่ผิวสัมผัสระหว่างข้อต่อกระดูกตันขา กับกระดูกหน้าแข็งให้ถูกต้องตามความจริง (Degree of freedoms, DOFs) เท่ากับศูนย์
3. กำหนดค่าเงื่อนไขระหว่างผิวสัมผัสของกระดูกตันขาและแผ่น DCP กับกระดูกตัวให้เป็นแบบยึดติดกัน
4. ผิวสัมผัสของกระดูกกับแผ่น DCP คิดเป็นผิวแบบสัมผัสนก (contact surfaces) โดยมีสัมประสิทธิ์ความเสียดทานเท่ากับ 0.2  
สำหรับรูปแบบการวางกระดูกแบบต่างๆ บนแผ่น DCP  
ได้กำหนดดังแสดง ในรูปที่ 6

ดังนั้นสามารถเขียนสามเหลี่ยมแทนแรงที่กระทำบนกระดูกตันขา



รูปที่ 3 สามเหลี่ยมแทนแรงที่กระทำบนกระดูกตันขา

ลักษณะที่คงของแรงที่กระทำบนกระดูกตันขาเป็นดัง รูปที่ 4 โดย  $F_r$  เป็นแรงปฏิกิริยาของกระดูกหน้าแข็ง  $M$  เป็นโมเมนต์ที่เกิดขึ้น ดังนั้นสามารถหาค่าแรงต่างๆ ได้จากสมการ (2)-(6) ดังแสดงในรูปที่ 5 [0, 0]

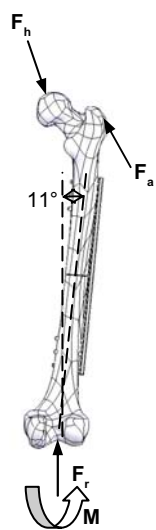
$$F_w = W/2 \quad (2)$$

$$F_a = F_w \sin 19^\circ / \sin 10^\circ \quad (3)$$

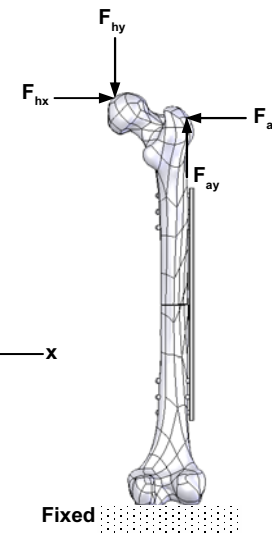
$$F_h = F_w \sin 151^\circ / \sin 10^\circ \quad (4)$$

$$F_{ax} = -F_a \sin 40^\circ, \quad F_{ay} = F_a \cos 40^\circ \quad (5)$$

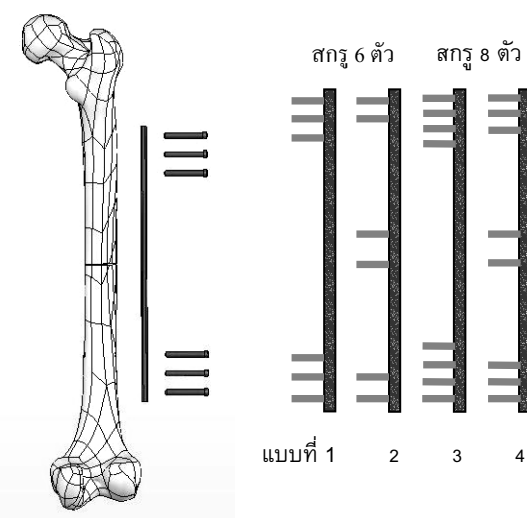
$$F_{hx} = F_h \sin 30^\circ, \quad F_{hy} = -F_h \cos 30^\circ \quad (6)$$



รูปที่ 4 ทิศทางของแรงที่กระทำบนกระดูกตันขา



รูปที่ 5 เงื่อนไขของแบบจำลองกระดูกตันขา



รูปที่ 6 แสดงรูปแบบการวางสกรูยึดแผ่นโลหะและกระดูกโดยมีรูปแบบการยึดสกรูดังแสดงในตารางที่ 1

ตารางที่ 1 รูปแบบการยึดสกรู

รูปแบบที่	ขนาดDCP	จำนวนสกรู	ตำแหน่งยึดสกรู
1	14	6	1, 2, 3, 12, 13, 14
2	14	6	1, 2, 7, 8, 13, 14
3	14	8	1, 2, 3, 4, 11, 12, 13, 14
4	14	8	1, 2, 3, 7, 8, 12, 13, 14
5	16	6	1, 2, 3, 14, 15, 16
6	16	6	1, 2, 8, 9, 15, 16
7	16	8	1, 2, 3, 4, 11, 14, 15, 16
8	16	8	1, 2, 3, 8, 9, 14, 15, 16
9	18	6	1, 2, 3, 16, 17, 18
10	18	6	1, 2, 9, 10, 17, 18
11	18	8	1, 2, 3, 4, 15, 16, 17, 18
12	18	8	1, 2, 3, 9, 10, 16, 17, 18

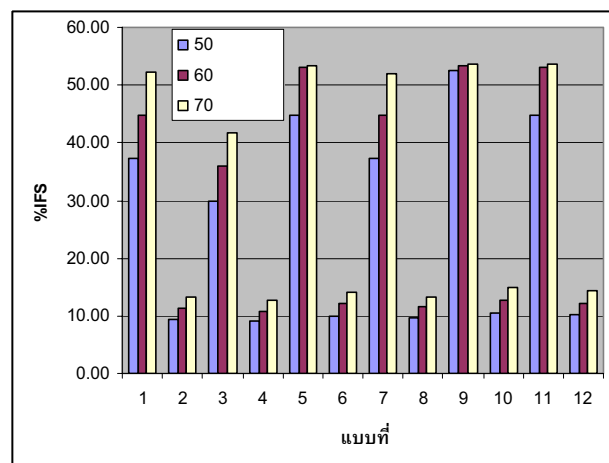
#### 4. ผลการวิจัย

ผลการวิเคราะห์ค่าความเครียดที่เกิดขึ้นบริเวณรอยหักกระดูก (Interfragmentary strain, IFS) เมื่อยึดสกรูในรูปแบบต่าง และรับน้ำหนักของร่างกายเท่ากับ 50, 60 และ 70 กิโลกรัม ตามลำดับ ได้แสดงไว้ดังตารางที่ 2

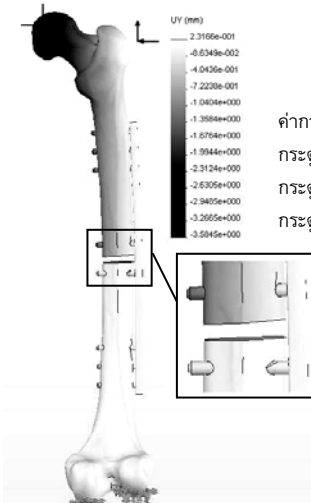
ตารางที่ 2 ค่า IFS ที่เกิดขึ้นเมื่อรับน้ำหนักร่างกายขนาด 50, 60 และ 70 กิโลกรัม

รูปแบบที่	%IFS		
	50 กิโลกรัม	60 กิโลกรัม	70 กิโลกรัม
1	37.31	44.77	52.24
2	9.52	11.43	13.33
3	29.90	35.88	41.86
4	9.08	10.89	12.71
5	44.86	53.11	53.49
6	10.08	12.09	14.11
7	37.22	44.66	52.10
8	9.56	11.48	13.39
9	52.49	53.36	53.75
10	10.64	12.76	14.89
11	44.78	53.15	53.53
12	10.19	12.23	14.27

จากผลการวิจัยที่ได้ดังตารางที่ 2 จะได้ว่า ภาวะที่ผู้ป่วยกระดูกตื้นขาหักเกิดช่องว่างรอยหักกระดูกขนาด 6 มิลลิเมตร การยึดสกรูตามรูปแบบที่ 4 คือ DPC ขนาด 14 รู ยึดสกรู 8 ตัว ที่ตำแหน่ง 1, 2, 3, 7, 8, 12, 13, 14 จะทำให้ได้ค่า IFS น้อยที่สุดไม่ว่ารับน้ำหนักกระดูกของน้ำหนักขนาดใด ก็ตาม และการยึดสกรูตามรูปแบบที่ 9 DPC ขนาด 18 รู ยึดสกรู 6 ตัว ที่ตำแหน่ง 1, 2, 3, 16, 17, 18 จะทำให้ได้ค่า IFS มากที่สุด

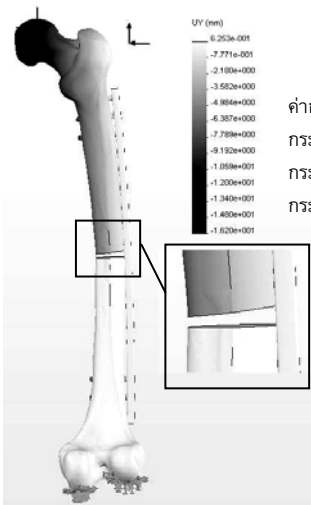


รูปที่ 7 ค่า %IFS ที่เกิดขึ้นเมื่อรับน้ำหนักร่างกายขนาด 50, 60 และ 70 กิโลกรัม



ค่าการเคลื่อนตัว(IFM) เฉลี่ยบริเวณรอยหักกระดูกตามแนวแกน y  
กระดูกส่วนบน = -0.56182 mm  
กระดูกส่วนล่าง = -0.017274 mm

รูปที่ 8 ค่า (IFM) ที่เกิดขึ้นบริเวณรอยหักกระดูกตามแนวแกน y  
ยึดด้วยสกรูรูปแบบที่ 4 รับน้ำหนักร่างกาย 50 กิโลกรัม



ค่าการเคลื่อนตัว(IFM) เฉลี่ยบริเวณรอยหักกระดูกตามแนวแกน y  
กระดูกส่วนบน = -3.1583 mm  
กระดูกส่วนล่าง = -0.0089201 mm

รูปที่ 9 ค่า (IFM) ที่เกิดขึ้นบริเวณรอยหักกระดูกตามแนวแกน y  
ยึดด้วยสกรูรูปแบบที่ 9 รับน้ำหนักร่างกาย 50 กิโลกรัม

## 5. สรุปผลการวิจัย

ค่าความเครียดที่ได้จากการวิจัยพบว่า รูปแบบของการยึดสกรู และภาระรวมน้ำหนักที่เกิดจากน้ำหนักมีผลต่อการขับตัวบริเวณรอยหักของกระดูก และยังเป็นปัจจัยสำคัญในการรักษาผู้ป่วยภาวะกระดูกตันขาหัก เป็นอย่างมากจากการวิจัยพบว่าการยึดกระดูกตรงตำแหน่งนั่น ใกล้กับรอยหักจะสามารถควบคุมการขับตัวของบริเวณกระดูกตันขาหักได้ดีทำให้ค่าความเครียดที่เกิดขึ้นมีค่าน้อยกว่า หรือใกล้เคียง 10 มาตร กว่าการยึดตำแหน่งที่ห่างออกไปส่วนจำนวนสกรูที่ใช้ถ้าใช้จำนวนน้อยที่สุดก็จะเป็นผลดีต่อผู้ป่วย เนื่องจากเวลาผู้ป่วยหายจากภาวะกระดูกตันขาหักนั้น ต้องมีการผ่าตัดเพื่อเอาแผ่นโลหะและสกรูออก หากสกรูมีจำนวนมากก็จะส่งผลต่อกล้ามเนื้อบริเวณที่ยึดสกรูได้ แต่ถ้าใช้สกรูน้อยเกินไปอาจจะมีผลต่อการรับภาระกรรมบิ่งภาระกรรมมากก็ควรยึดสกรูมากขึ้นจึงจะเป็นผลดีต่อการรักษา จากการวิจัยภาวะกระดูกตันขาหักเกิดขึ้นว่างร้อยหักกระดูก 6 มิลลิเมตร ยึดด้วยสกรูรูปแบบ ต่างๆ กัน 12 รูปแบบ พบร่วมกับรูปแบบที่ดีที่สุดในการยึดสกรู คือรูปแบบที่ 4 จะทำให้ได้ค่า %IFS ดีกว่ากรณีอื่น คือยึดด้วย DCP ขนาด 14 รู ด้วย สกรู 8 ตัว ที่ตำแหน่ง 1 2 3 7 8 12 13 และ 14 ตามลำดับ จะได้ค่า %IFS เท่ากับ 9.08 10.89 และ 12.71 เมื่อรับน้ำหนักร่างกาย 50-60 และ 70 กิโลกรัมตามลำดับ และรูปแบบที่ 9 เป็นรูปแบบที่ไม่เหมาะสมที่จะนำมารักษาผู้ป่วยภาวะดังกล่าว เนื่องจากค่า %IFS มีค่าต่ำข้างมาก ทำให้เกิดการขับตัวของรอยหักกระดูกมาก ตั้งรูปที่ 9 ส่งผลต่อการรักษาอาจจำเป็นต้องรักษาระดับที่ 9 จึงทำการยึดด้วย DCP ขนาด 18 รู ด้วยสกรู 6 ตัว ที่ตำแหน่ง 1 2 3 16 17 และ 18 ตามลำดับ จะได้ค่า %IFS เท่ากับ 52.49 53.36 และ 53.75 เมื่อรับน้ำหนักร่างกาย 50-60 และ 70 กิโลกรัมตามลำดับ

## 6. กิตติกรรมประกาศ

ทางคณะวิจัยขอขอบคุณ แพทย์หญิงกันยิกา ชำนินประศาสน์ และ นายแพทย์ปรัชญา จัลจิตวิไล ภาควิชาศัลยศาสตร์อธิบดีกัส คณะแพทยศาสตร์ มหาวิทยาลัยสงขลานครินทร์ สำหรับการให้ข้อมูลทางการแพทย์ และวัสดุที่ใช้ในการวิจัยไว้ ณ ที่นี่

## 7. เอกสารอ้างอิง

- [1] Arazi M, Yalcin H, Turakciyolu N, Dasci Z, Kutlu A. The effects of Dynamization and Destabilization of the external Fixator on Fracture Healing : A comparative Biomechanical study in Dogs. Orthopedics May 2002; 521-524.
- [2] Claes LF, Heigele CA, Neidlinger-Wilke C, Kaspar D, Seidl W, Margevicius KJ, et al. Effects of Mechanical Factors on the Fracture Healing Process. Clinical Orthopaedics and Related research 1998; 132-147.
- [3] Egol KA., Kubiak EN., Fulkerson E., Kummer FJ., and Koval KJ., Biomechanics of locked plates and screws. Journal of Orthopaedic Trauma, 2004; 488-493.
- [4] Kenwright J, Goodship AE. Controlled Mechanical Stimulation in the Treatment of Tibial Fractures. Clinical Orthopaedics and Related research 1989; 36-47.
- [5] Perren SM., Physical and biological aspects of fracture healing with special reference to internal fixation. Clin Orthop, 1979; 175-196.
- [6] S. J. Hall, "Basic Biomechanics", 3<sup>rd</sup> ed, McGraw-Hill, New Delhi, 1999.
- [7] V. Waide, L. Critofolimi, J. Stolk, N. Verdonschot and A. Toni, "Experiment investigation of bone remodeling using composite femurs", Clinical Biomechanical, Vol. 18, 2003, p.523-536.
- [8] V.A. Papathanasopoulou, D.I. Fotiadis and C.V. Massalas, "Intact and implanted femur behaviour during walking and jogging", IEEE, 2001; 1524-1527.
- [9] บุญธรรม วงศ์ไชย และ ศุภสิทธิ์ รอดขาวัญ, "การวิเคราะห์ความเค้นในสกรูและแผ่นโลหะรับแรงอัดทางพลาสติกที่ยึดติดอยู่บนกระดูกช่วงหน้าขาของคน", การประชุมเครือข่ายวิศวกรรมเครื่องกลแห่งประเทศไทย ครั้งที่ 18 วันที่ 18-20 ตุลาคม 2547 จังหวัดขอนแก่น.